

УДК 591.84:598.6

П. М. Мажуга, Е. И. Домашевская, Т. П. Ницевич

## ОСОБЕННОСТИ БИОСИНТЕЗА КОЛЛАГЕНОВЫХ БЕЛКОВ В СТРУКТУРАХ НАДКОСТНИЦЫ И ЭНДОСТА У ЗАРОДЫШЕЙ КУРИНЫХ

Развитие клеток надкостницы и эндоста сопровождается изменением ряда метаболических показателей, отражающих последовательную смену синтеза специфических веществ в клетках и степень их участия в производстве компонентов основного вещества. Эти явления внутри клеток регистрируются по возрастающим показателям синтеза белков, которые могут быть использованы для оценки функционального состояния клеток в остеогенезе.

Сведений о биосинтезе коллагеновых белков в остеобластах периоста и эндоста у птиц очень мало. Отдельные сообщения касаются биосинтеза коллагена остеобластами птиц в культуре ткани (Jackson, Smith, 1957; Smith, Jackson, 1957; Scott-Savage, 1979), а также в условиях воздействия на организм некоторых веществ (кальций, циклогексимид, дексиметазон), стимулирующих или ингибирующих костеобразование (Weinstock, Leblond, 1974; Zambonin et al., 1982; 1983; Reddi, Harrington, 1982). Однако даже эти немногие сообщения посвящены выяснению механизма биосинтеза коллагена, а не оценке функционального состояния остеогенных клеток. В нашем исследовании сделана попытка оценки функционального состояния остеобластов в периосте и эндосте по включению ими  $^3\text{H}$ -глицина.

**Материал и методика.** Метод авторадиографии с применением  $^3\text{H}$ -глицина изучали распределение биосинтеза коллагена в клетках перихондра, периоста и эндоста в различных участках растущей длинной трубчатой кости у 17-суточных зародышей куриного. Всего использовано в опыте 20 зародышей кур породы белый леггорн.

$^3\text{H}$ -глицин вводили однократно в дозе 37 кБк/г массы тела.

**Материал** (бедренные кости) отбирали через 1; 24; 48 и 72 ч после введения изотопа. Учет включений изотопа проводили, подсчитывая зерна восстановленного серебра над клетками и межклеточным веществом, ориентируясь в каждом случае на эквивалентную площадь структуры — 1600  $\mu\text{m}^2$ . Подсчеты проводили по всему попечнику диафиза кости, включая периостальные, мезостальные и эндостальные trabecулы. Полученные данные обрабатывались вариационно-статистическим методом.

При сходных с другими наземными позвоночными источниками и механизмами развития, периост и эндост у птиц имеет существенные отличия, связанные с особенностями структурного формирования трубчатых костей. Диафизарная трубка в длинных костях птиц построена по трабекулярно-лакунарному принципу (рис. 1, 2). В такой облегченной конструкции клетки внутреннего слоя периоста заходят глубоко в межтрабекулярные пространства; в то же время эндост распространен по внутренней зоне трабекулярно-лакунарной конструкции со стороны костномозговой полости. То есть, остеогенные клетки периоста и эндоста рассредоточены по всему лакунарно-трабекулярному лабиринту диафизарной трубки, представляя фактически единую остеогенную систему.

В бедренной кости 17-суточного зародыша морфологически можно выделить диафиз, два метафиза, переходную зону и два эпифиза. Диафизарная и метафизарная области покрыты снаружи периостом, а в переходной зоне и на боковых поверхностях эпифизов содержится перихондр. Перихондр без видимой границы переходит в периост, в котором

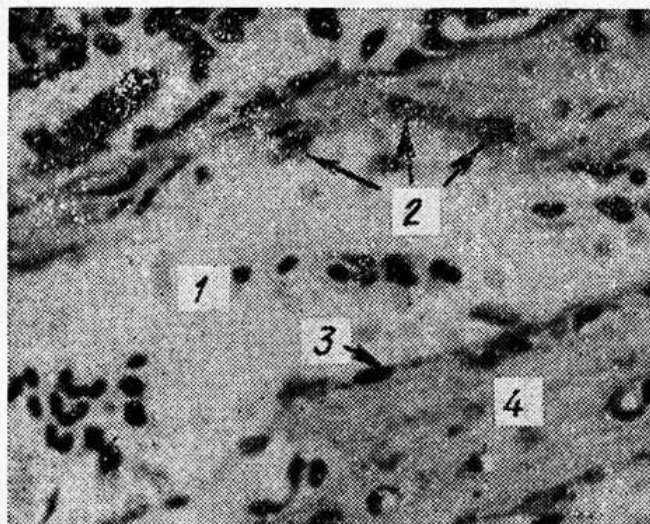


Рис. 1. Фрагмент диафизарной трубки бедренной кости 17-суточного зародыша: 1 — костно-мозговая полость; 2 — многочисленные остеоклазы на внутренней (эндостальной) поверхности кости; 3 — остеобласти; 4 — костные трабекулы разных порядков (гем.—эозин; об. 25, ок. 15).

Рис. 2. Фрагмент диафизарной костной трубы бедренной кости 17-суточного зародыша, состоящей из взаимосоединяющихся костных трабекул (со стороны периоста) (гем.—эозин; об. 40, ок. 7).

выделяются: внутренний и наружный слои. В наружном слое клетки расположены в 8—10 рядов. Наружный слой содержит фибробласты и фибробластоподобные клетки, здесь же встречаются кровеносные сосуды. Иногда можно видеть единичные тучные клетки. Во внутреннем слое содержится 4—5 рядов остеогенных клеток. Клетки на разных стадиях дифференцировки: остеобласти и преостеобласти.

Если в метафизе внутренний и наружный слои периоста имеют примерно одинаковую толщину, то в диафизе внутренний слой периоста несколько тоньше наружного (рис. 3). Соответственно внутренний слой включает 3—4 ряда клеток, а наружный — 7—8. На равной площади ( $1600 \text{ мкм}^2$ ) в периосте диафиза насчитывается в 2 раза больше остеобластов, чем в периосте метафиза. Нередко в периосте диафизарной области на поверхности кости можно видеть 2-ядерные остеоклазы (рис. 4). Средняя площадь такой клетки составляет  $37—40 \text{ мкм}^2$ .

Эндост в трубчатой кости куринных зародышей распространен по всей внутренней зоне трабекулярно-лакунарной конструкции. Он образован лишь одним слоем клеток, которые в межтрабекулярной зоне представлены преимущественно остеобластами и редко встречающимися остеоклазами, а на внутренней поверхности диафизарной трубы,

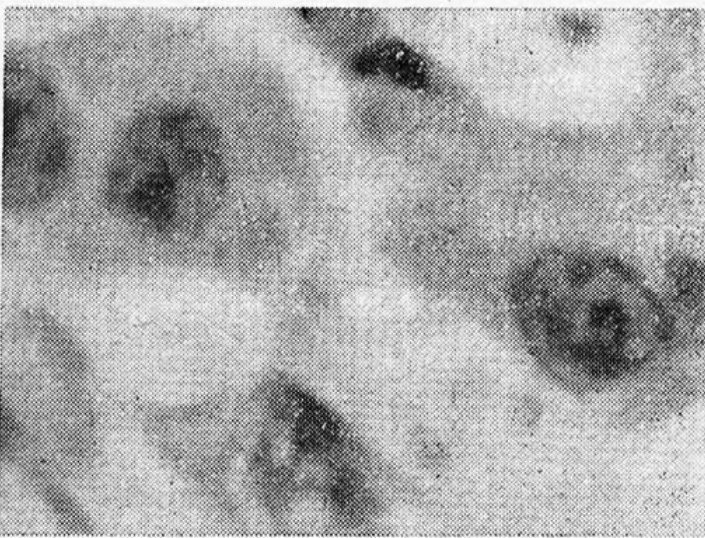
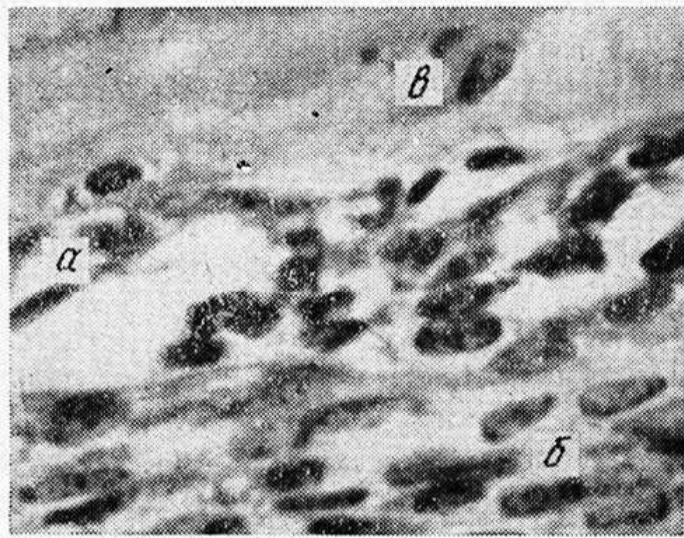


Рис. 3. Надкостница 17-суточного зародыша в зоне диафиза бедренной кости: а — внутренний слой; б — наружный слой; в — остеоцит (гем.—эозин; об. 40, ок. 7).

Рис. 4. 2-ядерные остеоклазы надкостницы бедренной кости 17-суточного зародыша (гем.—эозин; об. 40, ок. 7).

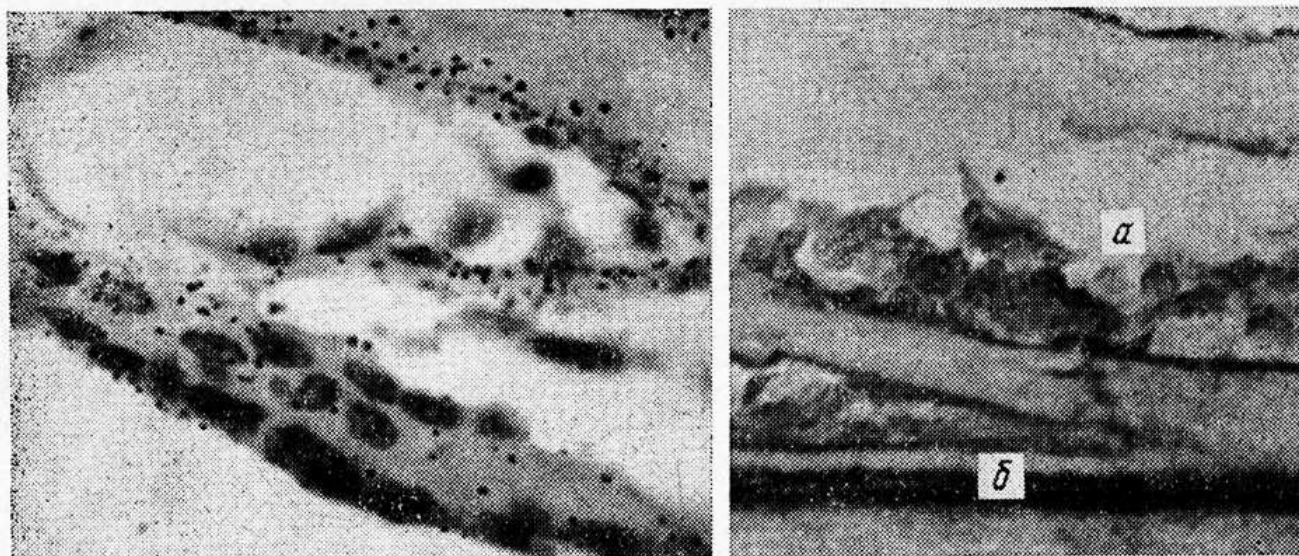


Рис. 5. Многоядерный меченный остеокласт в зоне резорбции (эндостальная зона) диафизарной кости 17-суточного зародыша (гистоавтограф,  $^3\text{H}$ -глицин, экс. 72 ч, гем.—эозин; об. 40, ок. 16).

Рис. 6. Участок диафизарной трубки бедренной кости 17-суточного зародыша: а — слабая реакция щелочной фосфомоноэстеразы в зоне эндостального остеогенеза; б — интенсивная в периосте (реакция по Гомори; об. 40, ок. 7).

в нем численно преобладают одноядерные и многоядерные остеокласти (рис. 1). Фибрillлярного каркаса в эндосте нет, однако на поперечных срезах трубчатой кости, обработанных азотнокислым серебром по Бильшовскому в модификации Тинеля (Роскин, 1957), у эндостальной поверхности и выявляются аргенофильные волокна костномозговой стромы, направленные под различными углами к поверхности кости. В метафизарной области костные балки расположены в 2—3 ряда, обозначаемые нами как трабекулы 1, 2, 3-го порядка. Количество остеобластов в метафизе распределяется следующим образом: на самых внутренних балках их среднее количество на условной площади гистологического среза составляет 12; в более наружно расположенных балках их число возрастает до 18. В центре диафиза трабекулярная структура кости развита сильнее, чем в метафизе и представлена 5—7 рядами трабекул. У трабекул 1-го порядка (со стороны костномозговой полости) на эквивалентной площади среза содержится 8—10 остеобластов; на поверхности в промежуточных (мезостальных) трабекул, т. е. трабекулах 2, 3, 4-го и т. д. порядков, их число достигает 12—14, причем преобладают здесь уплощенной формы остеобласти. На поверхности самых наружных периостальных трабекул количество остеобластов на равной площади достигает 20. Следовательно, ближе к периосту последовательно возрастает концентрация остеобластов на костных трабекулах. В эндосте клетические клетки встречаются гораздо чаще, чем в периосте, кроме того отличаются они здесь более крупными размерами и содержат большее количество ядер. У эпифизарного хряща — это, главным образом, 1—3—5-ядерные хондрокласти, лишь вблизи трабекулярной кости они более крупного размера. Среди них — одноядерные и многоядерные формы, содержащие свыше 20 ядер (рис. 5). В этой же зоне выявляется очень слабая либо нулевая реакция на щелочную фосфомоноэстеразу, которая нарастает у трабекул вблизи периоста, где концентрация и плотность расположения остеобластов значительно увеличивается (рис. 6).

Уже сам факт наблюдаемых существенных различий в клеточном составе периоста и эндоста должен предполагать неравнозначное участие их в росте и морфогенезе кости в раннем онтогенезе. В связи с этим представляет интерес изучение особенностей распределения в растущей кости процессов биосинтеза коллагеновых белков, по которым можно в известной мере судить об интенсивности и соотносительном уровне периостального и эндостального остеогенеза.

Таблица 1. Включение  $^3\text{H}$ -глицина в клетки периондря и надкостницы после однократной инъекции 17-суточным эмбрионом

Период	Периондр				Надкостница			
	ХБ	ПХБ	ФБП	ОВ	ФБП	ПОВ	ФБП	ОВ
Через 1 ч после введения								
10,4±0,9	10,8±0,1	10,4±0,1	14,6±0,1	10,2±0,2	9,8±0,01	18,5±0,1	11,8±0,9	14,4±0,7
10,7±0,2	10,3±0,3	11,8±0,01	19,0±0,01	10,7±0,5	10,8±0,2	7,1±0,1	6,4±0,02	6,8±0,01
11,4±0,04	5,4±0,2	7,0±0,1	5,3±0,1	8,4±0,01	8,3±0,01	5,4±0,2	5,0±0,1	5,9±0,1
14,0±0,03	6,9±0,1	5,6±0,01	10,2±0,5	11,0±0,01	5,8±0,02	11,0±0,02	9,1±0,18	7,8±0,01

Проведенные опыты с импульсным введением  $^3\text{H}$ -глицина 17-суточным зародышам показывает, что биосинтез коллагеновых белков в надкостнице трубчатой кости распределяется неравномерно среди клеток различных ее слоев и в разных участках кости. Так, через 1 ч после введения  $^3\text{H}$ -глицина отмечается разная плотность метки над клетками надкостницы (рис. 7); в то же время с разной интенсивностью откладывается меченный продукт на поверхности растущей кости. Неодинаковая активность остеогенных клеток по показателю включения ими  $^3\text{H}$ -глицина определяется и в различных зонах кости. Более интенсивно метились клетки внутреннего слоя надкостницы (рис. 8), особенно в диафизарной зоне, здесь максимальную метку содержали остеобласти (табл. 1).

На последующих экспозициях отмечается уменьшение концентрации метки  $^3\text{H}$ -глицина от самых наружных трабекул, смежных с периодом, до самых внутренних, на границе с костномозговой полостью. Наиболее интенсивно ассимилируют  $^3\text{H}$ -глицин остеобласти, участвующие непосредственно в остеогенезе, что хорошо заметно по возрастающей кривой роста остеоцитов в тех участках кости, где более интенсивно идет процесс образования костных трабекул — в зоне диафиза кости (рис. 9).

В эндoste растущей кости куриных зародышей распределение включений  $^3\text{H}$ -глицина выглядит следующим образом. Через 1 ч после введения изотопа метка регистрировалась как в остеобластах, так и во вновь образованном за это время остеоиде (табл. 2). При этой экспозиции преобладают внутриклеточные включения изотопа. В остеобlastах на самых внутренних костных трабекулах (трабекулы 1-го порядка) метка самая слабая. По мере удаления от костномозговой полости к мезосту включения  $^3\text{H}$ -глицина прогрессирующее возрастили в клетках и межклеточном веществе трабекул 2-го порядка в 2—2,5 раза; в трабекулах 3-го порядка — в 5,5 раз; в трабекулах 4-го порядка — в 6,5 раз. Выделившийся из клеток

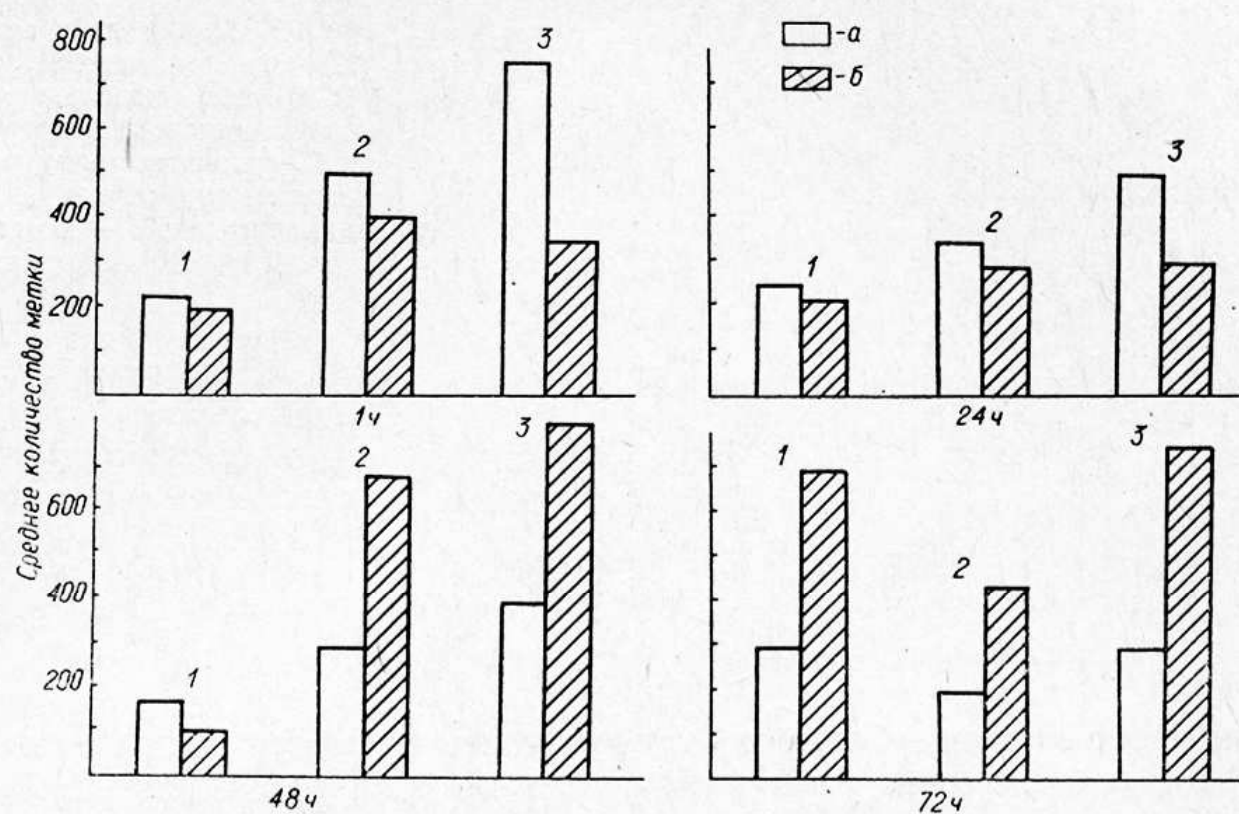


Рис. 7. Динамика включения  $^{3}\text{H}$ -глицина в слои надкостницы бедренной кости 17-суточного зародыша: *a* — внутренний слой; *b* — наружный; 1 — переходная зона; 2 — метафиз; 3 — диафиз.

меченный продукт расположен на поверхности костных трабекул в виде узкой «радиоактивной» полосы. Самая высокая интенсивность включений  $^{3}\text{H}$ -глицина в этот временной интервал отмечена в остеогенных клетках периоста и у края трабекул, граничащих с внутренним слоем периоста (рис. 10). Остеоклазты в первый час опыта не метились  $^{3}\text{H}$ -глицином.

Через 24 ч после введения  $^{3}\text{H}$ -глицина в перихондре переходной зоны можно уже регистрировать не только преостеобласти, но и единичные остеобласти. Незначительные изменения наблюдаются и в метафи-

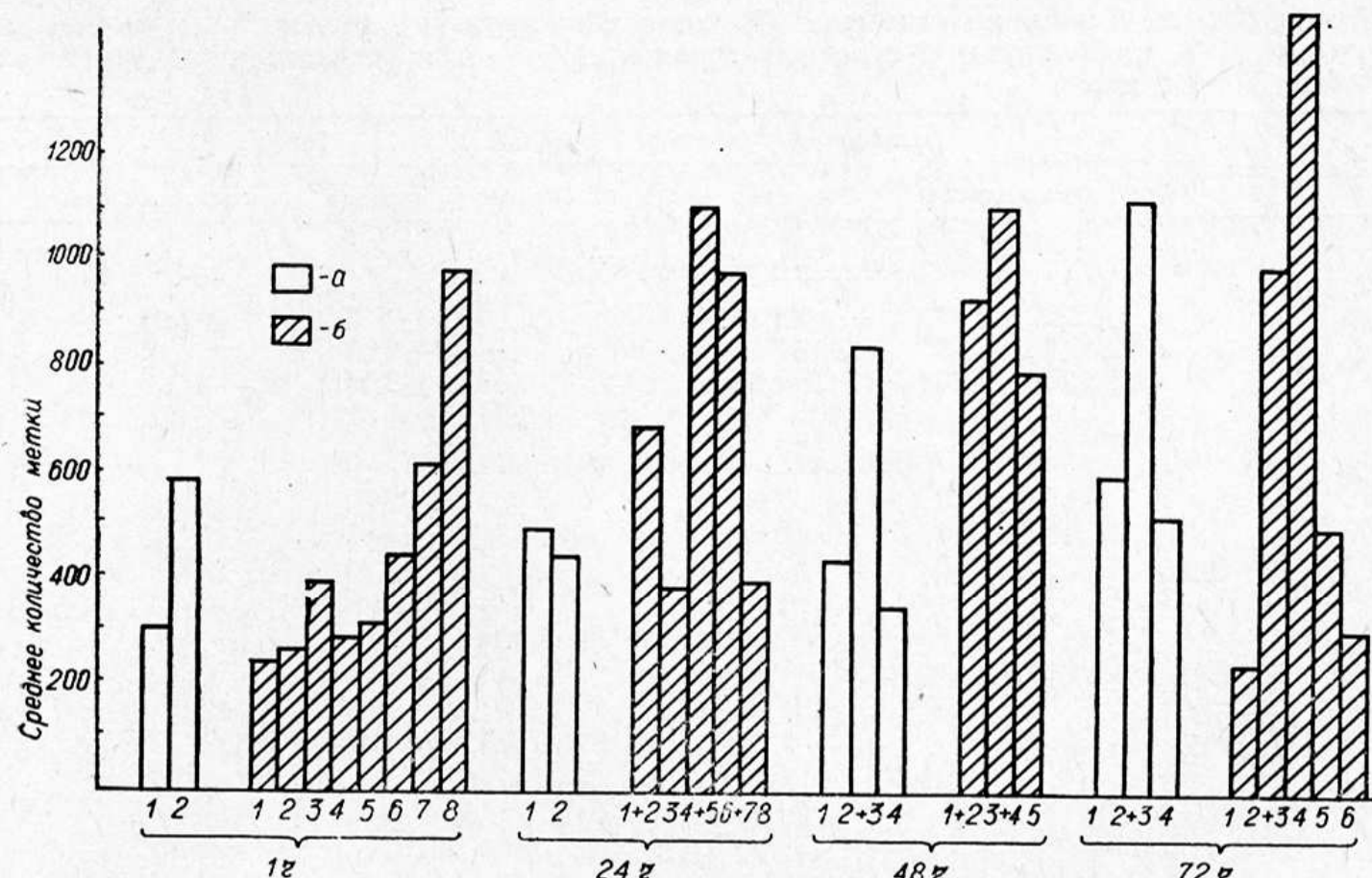


Рис. 8. Количество (X) зерен восстановленного серебра (метки  $^{3}\text{H}$ -глицина) над костными трабекулами различных зон бедренной кости 17-суточных эмбрионов: *a* — метафиз; *b* — диафиз.

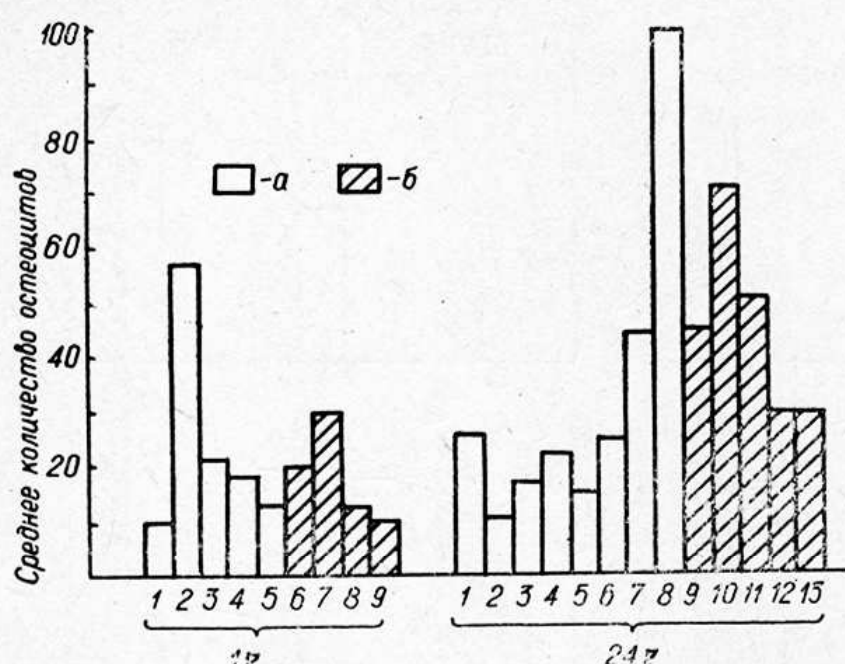


Рис. 9. Количество остеоцитов (X) на условной площади ( $1600 \text{ мк}^2$ ) костных трабекул центра диафиза бедренной кости 17-суточных зародышей: а — костные трабекулы со стороны надкостницы; б — костные трабекулы со стороны эндоста.

зах. Так, во внутреннем слое периоста зоны метафизов количество рядов остеогенных клеток увеличилось на 1—2. Интенсивность включений  $^{3}\text{H}$ -глицина над клетками в этой зоне уменьшается, одновременно возрастает

количество костных балок и интенсивность их часовой экспозицией. Таким образом, к 24 ч опыта в зонах метафизов и диафиза появляется новообразованная кость, о чем свидетельствует увеличившаяся за этот промежуток времени концентрация метки в основном веществе и расширение полосы мечения (рис. 11).

Примечателен факт, что первые включения  $^{3}\text{H}$ -глицина в клетки перихондра и в клетки наружных рядов надкостницы появляются обычно одновременно с включениями в остеобластах. Однако интенсивность метки в них разная. Меченный продукт задерживается в наружных клетках в течение суток и лишь в более поздние сроки опыта он появляется в межклеточном веществе перихондра. Картина последовательной динамики радиоактивной метки в перихондре и фиброзном слое периоста свидетельствуют о том, что потребление здесь клетками  $^{3}\text{H}$ -глицина связано с биосинтезом коллагена, идущего на построение межклеточного вещества.

Таблица 2. Динамика включения  $^{3}\text{H}$ -глицина в структуру эндоста и эндостальный матрикс бедренной кости 17-суточных зародышей (интенсивность метки на условной площади  $1600 \text{ мкм}^2$ )

Трабекулы	Метафиз		Диафиз	
	Структура эндоста	Эндостал. кость	Структура эндоста	Эндостал. кость
Через 1 ч после введения				
T1	$57,60 \pm 2,92$	$45,60 \pm 2,18$	$24,40 \pm 2,35$	$22,20 \pm 2,58$
T2	$148,20 \pm 7,47$	$135,45 \pm 8,70$	$64,55 \pm 2,83$	$58,15 \pm 3,30$
T3	$235,90 \pm 11,45$	$149,55 \pm 3,98$	$139,20 \pm 2,99$	$81,20 \pm 3,26$
T4			$187,10 \pm 4,80$	$156,80 \pm 16,58$
Через 24 ч после введения				
T1	$54,56 \pm 7,80$	$55,75 \pm 6,80$	$27,75 \pm 2,20$	$25,80 \pm 3,10$
T2	$57,69 \pm 4,20$	$149,65 \pm 3,11$	$51,69 \pm 2,82$	$114,70 \pm 4,20$
T3	$161,60 \pm 6,30$	$187,10 \pm 7,32$	$105,60 \pm 7,10$	$158,50 \pm 5,52$
T4			$183,25 \pm 16,58$	$191,00 \pm 9,70$
Через 48 ч после введения				
T1	$41,90 \pm 2,38$	$58,95 \pm 1,74$	$44,38 \pm 3,41$	$81,00 \pm 4,62$
T2	$54,55 \pm 3,20$	$179,44 \pm 14,50$	$41,60 \pm 3,83$	$133,50 \pm 8,37$
T3	$137,30 \pm 15,20$	$210,80 \pm 10,30$	$151,69 \pm 3,82$	$263,68 \pm 12,19$
Через 72 ч после введения				
T1	$30,44 \pm 2,30$	$47,60 \pm 3,10$	$36,60 \pm 2,50$	$115,10 \pm 10,30$
T2	$40,10 \pm 4,80$	$110,20 \pm 9,20$	$108,30 \pm 8,45$	$217,47 \pm 15,60$
T3	$121,15 \pm 11,10$	$310,20 \pm 18,50$	$151,69 \pm 3,82$	$350,00 \pm 12,70$

Примечание: T1, T2, T3, T4 — трабекулы 1, 2, 3, 4-го порядка, начиная от внутренней поверхности диафизарной трубки.

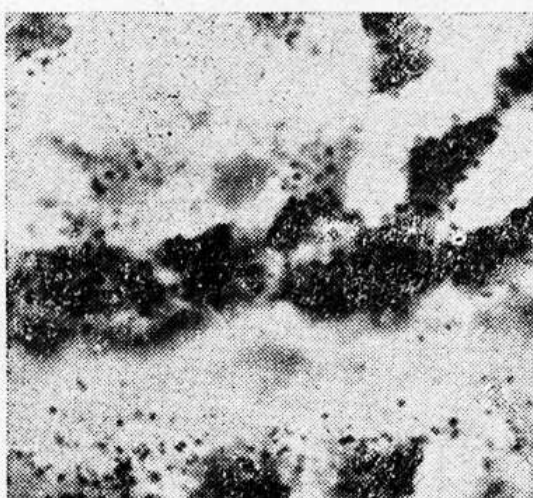


Рис. 10. Интенсивные включения меченого глицина в остеобластах эндоста вблизи периостальных трабекул (гистоавтограф,  $^3\text{H}$ -глицин, экс. 1 ч, гем.—эозин; об. 40, ок. 16).

Рис. 11. Мезостальная зона вблизи периостальных трабекул; через 24 ч метка  $^3\text{H}$ -глицина значительно распространяется за пределы клеток (гистоавтограф, гем.—эозин; об. 40, ок. 16).

В распределении периоста по периметру трубчатой кости всегда прослеживается определенная закономерность. В интенсивно растущих зонах остеогенный его слой содержит преимущественно функционально активные остеобласти при повышенной их численности на эквивалентной площади. Таким образом, морфологические отличия клеток различных зон коррелируют с проявлением их функциональной активности. Начиная с первых суток и позже участки межклеточного вещества, содержащие интенсивную метку  $^3\text{H}$ -глицина, отличаются эозинофильной окраской и представляют собой отложения новообразованного костного матрикса.

Если в течение первых двух суток отмечается высокая метка  $^3\text{H}$ -глицина над клетками внутреннего слоя периоста, то начиная с 48 часов и до конца опыта метка над внутренним слоем надкостницы заметно снижается, сохраняясь почти на прежнем уровне в наружном слое (рис. 10). На препаратах всех экспозиций наблюдается возрастание включений во вновь сформированных костных балках, прилежащих к надкостнице. Это свидетельствует, очевидно, о том, что по мере секреции коллагеновые балки внутреннего слоя лишь частично остаются в основном веществе надкостницы, тогда как другая часть используется на построение костной ткани. Постоянство уровня мечения в наружном слое указывает на использование синтезируемых клетками продуктов для интенсивного фибрilloобразования. Объяснение этого факта кроется, по-видимому, в предположительном высказывании (Bateman, 1988), о том что синтез коллагеновых белков может контролироваться формирующимся при этом внеклеточным матриксом по принципу обратной связи. Это подтверждается и ультраструктурными исследованиями (Clarke, 1989) костной ткани.

Через 24 ч после введения радионуклида метка над остеобластами эндоста снижается почти в 2—2,5 раза и соответственно нарастает на поверхности костного матрикса (рис. 11). Лишь в эндостальной зоне



Рис. 12. Распределение включений  $^3\text{H}$ -глицина в трабекулах диафизарной трубки бедренной кости 17-суточного зародыша: максимум включений в периостальных трабекулах смешается в мезостальные трабекулы 4-го порядка (гистоавтограф,  $^3\text{H}$ -глицин, экс. 48 ч, гем.—эозин; об. 25, ок. 15).

**Таблица 3. Интенсивность мечения остеобластов эндоста бедренной кости 17-суточных зародышей в опыте с  $^3\text{H}$ -глицином в различные сроки после его введения**

Трабекулы	Интенсивность мечения остеобластов в зернах серебра			
	1 ч	24 ч.	48 ч	72 ч
<b>Метафиз</b>				
T1	7,60±0,41	6,15±0,38	6,00±0,54	4,70±0,52
T2	7,70±0,40	5,70±0,58	5,20±0,53	4,30±0,28
T3	16,30±1,26	7,45±0,57	6,80±0,86	4,50±0,51
<b>Диафиз</b>				
T1	6,70±0,62	4,10±0,63	4,35±0,32	4,33±0,35
T2	11,35±0,77	6,20±0,55	5,50±0,24	5,53±0,43
T3	15,45±1,16	7,85±0,67	5,70±0,56	7,40±0,74
T4	18,85±1,33	9,20±0,83	8,35±1,13	

Примечание: T1, T2, T3, T4 — трабекулы 1, 2, 3, 4-го порядка со стороны костно-мозговой полости в направлении периоста.

средины диафиза изменений не заметно. Распределение меченого продукта в основном веществе кости через сутки и в более поздние сроки опыта (48, 72 ч), свидетельствует об ограниченном остеогенезе во внутренних трабекулах и его последовательном возрастании в трабекулах смежных с периостом (рис. 12). По этой причине через 72 ч метки  $^3\text{H}$ -глицина в костных балках метафиза оказываются на глубине 7,5—12,5 мкм; в зоне диафиза (в трабекулах 1-го порядка) метка сохраняется у их поверхности; в трабекулах 2-го порядка включения изотопа регистрируются на глубине 5—7,5 мкм, а в трабекулах 4-го порядка (периостальные трабекулы) — 50—75 мкм. Все это свидетельствует о распределении роста кости по различным ее зонам и структурам. Глубина фронта радиоактивного мечения в матриксе кости после однократного введения  $^3\text{H}$ -глицина определенно указывает на различия в интенсивности остеопластического процесса, а значит, и аппозиционного роста в разных по структуре зонах кости.

Через 72 ч после введения  $^3\text{H}$ -глицина незначительно метились остеокласты (рис. 5). На этот счет в литературе существуют противоречивые мнения (Young, 1962, а, в; 1963; Owen, 1965). Анализ динамики интенсивности мечения отдельных остеобластов в эндосте бедренной кости куриных зародышей в различные сроки после введения меченого глицина позволил выявить самый высокий уровень синтеза и секреции белков коллагенового типа в остеобластах, расположенных на трабекулах вблизи периоста (табл. 3).

В тех зонах эндоста, где сосредоточены в большом количестве остеокласты, остеогенные клетки переходят в состояние функционального покоя и фактически прекращают свое участие в остеогенезе. Доминирующую роль здесь приобретает процесс резорбции. Следовательно в растущей трубчатой кости у птиц по мере прогрессирования периостального аппозиционного роста остеобlastы глублежащих костных трабекул последовательно снижают свою биосинтетическую активность и в эндостальной зоне обычно переходят в состояние функционального покоя. Возможно, в этом кроется одно из условий прогрессивного развития здесь остеокластов.

Домашевская Е. С. Кинетика секреции белков коллагенового типа клетками окосты // Доп. АН УРСР.—1871.— Сер. Б.— № 2.— С. 166—168.

Жинкин Л. Н. Радиоактивные изотопы в гистологии.— Л., 1959.— С. 5.

Роскин Г. И., Левинсон Л. Б. Микроскопическая техника.— М.: Сов. наука, 1957.— 466 с.

Clarke H. Mechanism of mineral formation in bone // Invest.— 1989.— P. 320—330.

Jackson S. F., Smith R. H. Studies on the biosynthesis of collagen I. The growth of

- fowl osteoblasts and the formation of collagen in tissue culture // J. Biophys.—3.—1957.—P. 897—912.
- Owen M. Cell differentiation in bone calcified tissues // Collection des Colloques de l'Universite de Liege.—1965.—P. 11—22.
- Reddi A. H. Role of extracellular matrix components in bone development and repair // Connect. Tissue.—1989.—21, N 1.—P. 13—14.
- Scott-Savage P., Hall B. K. The timing of the onset of osteogenesis in the tibia of the embryonic chick // J. Morphol.—1979.—P. 453—464.
- Smith R. H., Jackson S. F. Studies on the biosynthesis of collagen. The conversion of <sup>14</sup>C-proline to <sup>14</sup>C-hydroxyproline by fowl osteoblasts in tissue culture // J. Biophys. Biochem. Cytol.—1957.—3.—P. 913—922.
- Weinstock M., Leblond C. P. Synthesis, migration and release of precursor collagen by odontoblasts as visualized by radioautography after (<sup>3</sup>H) proline administration // J. Cell Biol.—1974.—60, N 1.—P. 92—127.
- Young R. W. Autoradiographic studies on bone and cartilage matrix formation in young rats injected with glycine-H<sup>3</sup> // Anat. Rec.—1962a.—142, N 2.—P. 335.
- Young R. W. Autoradiographic studies on postnatal growth of the skull in young rats injected with tritiated glycine // Ibid.—1962b.—143, N 1.—P. 1—7.
- Young R. W. Nucleic acids, protein synthesis and bone // Clinical orthopaedics and related research. N 26. Philadelphia;; Montreal: J. B. Lippincott.—1963.—P. 147—159.
- Zambonin Z. A., Teti A., Nico B., Primavera M. V. Osteoplastic activity of mature osteocytes evaluated by <sup>3</sup>H-proline incorporation // Basic and Appl. Histochem.—1982.—26, N 1.—P. 165—167.
- Zambonin Z. A., Teti A., Primavera M. V., Pace G. Mature osteocytes behaviour in a repletion period: the occurrence of osteoplastic activity // Ibid.—1983.—27, N 3.—P. 191—204.

Институт зоологии АН Украины  
(252601 Киев)

Получено 20.11.90

**Особливості біосинтезу колагенових білків в структурі окістя і ендосту у зародків куроподібних. Мажуга П. М., Домашевська О. І., Ніцевич Т. П.— Вестн. зоол., 1992, № 5.— Спроба оцінки функціонального стану остеобластів періосту і ендосту за включенням ними <sup>3</sup>H-гліцину.**

## РЕФЕРАТ ДЕПОНИРОВАННОЙ СТАТЬИ

**Аnestетики в рыбоводстве / Давыдов О. Н., Исаева Н. М.—23 с.—Библиогр. 60 назв.—Рус.—Деп. в ВИНИТИ 12.12.91 № 4592 — В 91.**

Проанализированы сведения, накопленные в 1980—1990 гг. по анестезированию рыб с помощью химиопрепараторов (MS—222, хинальдин, метил пентанол, двуокись углерода, хлорбутилол, метакайн, уретан, трихлорбутилалкоголь, амитал натрия, феноксиэтанол, пропоксат, ксилокайн и др.), а также по электро- и холодовой анестезии. Указано, что идеальный анестетик должен вызывать наступление анестезии за 3 мин. или менее, действие его должно быть достаточно продолжительным, а время восстановления — не более 5 мин.; остатки препарата в тканях рыбы должны метаболизироваться за 1 ч или менее. Он должен быть недорогим, не токсичным для рыбы, безвредным для человека и животных.